

東京大学大学院 学生員 林 錦 崇  
 東京大学工芸部 正会員 堀川 清司  
 東京大学工芸部 正会員 水口 優

## 1.はじめに

Hannaら<sup>1)</sup>およびInmanら<sup>2)</sup>の研究で明らかにされてるようには、碎波帯内の混合過程は二つの作用から成り立っている。その一つは碎波による拡がりであり、一つは碎波に伴う海浜流の移流作用である。そして、また汀線に直角方向の拡散および汀線方向の分散の二つにわけて取り扱うことができる。ここでは、沿岸方向の混合問題(焦点を絞り)、現地海岸での観測結果に基づき、混合過程について考察する。

## 2.観測方法

実験地域である福島海岸付近の海底勾配は1/50の程度であり、狭いながらも前浜が形成されている。観測は昭和51年9月5日及び7日に行なった。まず、沿岸方向25m間隔で碎波帯内の流向、流速を測定した。9月5日のケースでは、このような調査より判断して、沿岸流がその方向を変える地点と考えられた所に3kg/100Lの染料(ウラニンコンク溶液)を投入した。碎波帯内汀線方向675mの区间に9点、岸側と沖側との間に約10m離れた2点、合計12点において採水した。また、9月7日には、温排水の噴流中に投入された染料は一部碎波帯内を汀線方向に分散し、海浜流の作用を強く受け、その採水は汀線方向の6点において実施された。

## 3.観察結果と考察

## (1)沿岸方向の濃度変化

碎波帯内に投入した染料の分散過程は、まず汀線と直角方向に拡がり、次第に碎波帯幅一面に混合するようならびに次元的な拡がりから、汀線に平行な一次元的な拡がりに移行すると考えられる。図1は染料投入10分後の濃度分布を示したものである。沖側と岸側ではほとんど差がない、碎波帯内では碎波による拡がれのためか濃度は一様化されている。一方、染料窓の沿岸方向における拡散幅の変化をプロットしたものが図2である。その拡散幅はほぼ直線的に減少し、碎波帯内では混合されるにつれて拡散は一次元的なものとなる。

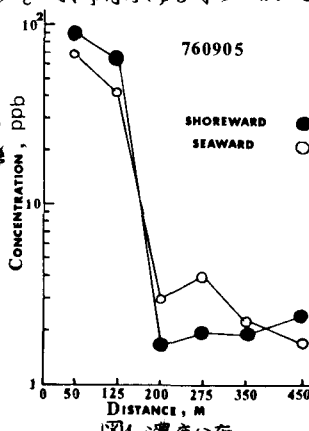


図1. 濃度分布

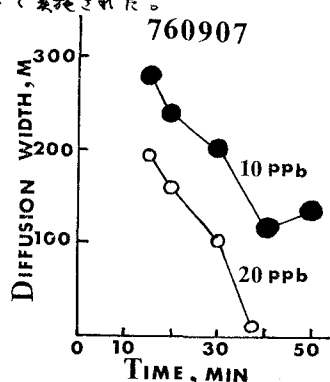


図2. 拡散幅の変化

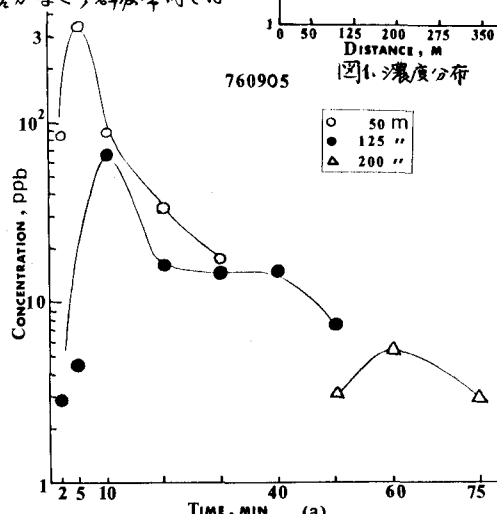
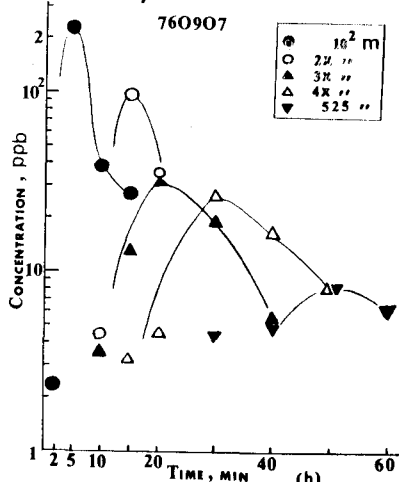


図3.(a) 沿岸方向の濃度変化



なお、染料濃度の沿岸方向に、時間並びに距離と共に変化する状況を図31に示す。これらの図より、時間と距離の増大に伴い、ピーク濃度は減少し、パッチの半径は増加することが認められる。

#### (2)離岸流による拡散効果

碎波帯内に投入された染料は離岸流によって沿岸方向に分散し、一部は離岸流に伴って沖合へ輸送され、残りのものは沿岸流と共に分散しきる。図31は離岸流による拡散効果を表わしたものである。ここで、 $R = C_{n+1}/C_n$  と定義する。 $C_{n+1}$ 、 $C_n$  はおのおの  $(n+1)$  セル、 $n$  セル内の濃度である。また、 $V$  は平均の沿岸流速である。沿岸流が強いほど拡散比は大きくなることがわかる。

#### (3)拡散係数

汀線に直角方向の碎波による拡散係数の算定式として、最も合理的なのは Battjes の式であるが、いま便宜上、Inman の式  $K_d = \frac{H_b X_b}{T} = 1$  によることとする。碎波波高  $H_b = 1.2$  m、碎波帶幅  $X_b = 150$  m、周期  $T = 12$  sec,  $1.5 \times 10^5 \text{ cm}^3/\text{sec}$  の値を得る。そこで、二次元的な拡がりから一次元的な拡がりの移行時間を  $t_0 = X_b^2/16 K_d$  によって算定すれば、僅か  $9.4$  sec である。したがって、ここでは、拡散を一次元的なものと考え、濃度は Gaussian 分布と仮定して沿岸方向の分散係数を計算した。その時間的及び距離的変化は図5に示す通りである。投入点より  $400$  m の所における投入後 1 時間の沿岸方向分散係数は、 $10^6 \text{ cm}^2/\text{sec}$  である。理論的に、碎波帯を三角形断面の開水路と考え、かつ沿岸流が卓越しているとした拡散方程式に対し、Concentration Moment 法を用いて、沿岸流のシアヌクスによる分散係数  $K_e$  を求めると、  

$$K_e = \alpha S^{-1/6} V_b^{2/3} X_b^{1/2}, \quad \alpha = \begin{cases} 0.047 & \text{海面} \\ 0.074 & \text{陸} \end{cases} \quad (1)$$

を得る。ここには、Longuet-Higgins の沿岸流速分布式並びに Battjes の碎波による拡散係数の式を用いた。すなはちそれが海底勾配、碎波点での沿岸流速である。いま、 $S = 1/50$ ,  $V_b = 40 \text{ cm/sec}$ ,  $X_b = 150 \text{ m}$  を代入して計算すると、 $K_e$  は  $10^6 \text{ cm}^2/\text{sec}$  のオーダーであり、観測値とほぼ一致している。式(1)についての詳しいことをまた別の機会に譲る。

#### 4. おわりに

今後、より詳しい現地観測を実施すると共に、平面水槽で詳細な海岸流速分布及び濃度分布を測定し、海岸流速における分散過程を明確にする計画である。なお、調査にあたり、佐々木氏雄博士はじめの J.N.A. 新日本研究所海岸海藻部の方々、東京都市大学土木工学科植田新太郎助手ならびに東京大学工学部港湾研究室の方々の協力を得た。最後に、本研究は文部省科学研究費持走研究「海岸環境保全に関する基礎的研究」(総合班代表者植田新太郎教授)による成果の一環であることを付記する。

〈参考文献〉 1) Harris, T. F. W. et al. (1964), Advances in Water pollution Research, Vol. 3, 197-198.

2) Inman, D. L. et al. (1971), J. Geophy. Res., Vol. 76, 3493-3514.

3) Battjes, A. J. (1975), Proc. Symp. on Modeling Techniques, ASCE, 1050-1061.

4) Longuet-Higgins, M. S. (1970), J. Geophy. Res., Vol. 75, 6778-6801.

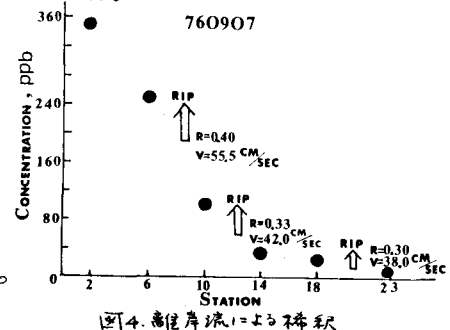


図4. 異なる岸流による拡散

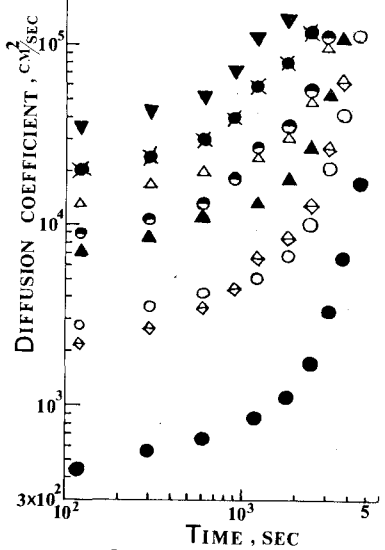
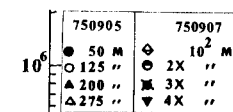


図5. 拡散係数